——— ЭЛЕКТРОНИКА СВЧ **——**

УДК 621.385.632

ЗАМЕДЛЯЮЩИЕ СИСТЕМЫ СО СВОЙСТВАМИ МЕТАМАТЕРИАЛОВ ДЛЯ ЛАМП БЕГУЩЕЙ ВОЛНЫ W-ДИАПАЗОНА¹

© 2024 г. А. А. Ростунцова^{а, b, *}, Е. Е. Колесниченко^{а, b}, Н. М. Рыскин^{а, b}

^aСаратовский филиал Института радиотехники и электроники им. В.А. Котельникова РАН, ул. Зеленая, 38, Саратов, 410019 Российская Федерация, ^bСаратовский национальный исследовательский государственный университет им. Н.Г. Чернышевского, ул. Астраханская, 83, Саратов, 410012 Российская Федерация

*E-mail: rostuncova@mail.ru

Поступила в редакцию 26.04.2024 г. После доработки 22.05.2024 г. Принята к публикации 25.05.2024 г.

Исследованы электродинамические характеристики лестничных замедляющих систем (3C), которые образованы металлической пластиной с периодически расположенными щелями определенной формы, помещенной в волновод. Предложены модификации лестничной 3C, связанные с усложнением формы щелей в пластине или формы волновода таким образом, чтобы частота щелевого резонанса была ниже частоты отсечки волновода, при этом 3C проявляет свойства дважды отрицательного метаматериала. Показано, что основная пространственная гармоника является обратной, в то время как на +1-й гармонике имеет место нормальная дисперсия и обеспечивается синхронизм пучка с волной в достаточно широкой полосе частот. Разработаны конструкции 3C с гантелеобразными щелями и 3C в волноводе с продольными пазами для лампы бегущей волны W-диапазона (75...110 ГГц) с относительной шириной полосы частот порядка 25% и рабочими напряжениями 8...13 кВ, в которых имеется возможность взаимодействия замедленной волны с двумя ленточными электронными пучками, распространяющимися сверху и снизу пластины.

Ключевые слова: замедляющая система, метаматериал, лампа бегущей волны, миллиметровый диапазон

DOI: 10.31857/S0033849424100077, **EDN:** HPYSIG

ВВЕДЕНИЕ

Субтерагерцевый (субТГц) диапазон частот имеет широкие перспективы применения, прежде всего для нового поколения высокоскоростных систем беспроводной передачи данных [1]. Актуальным является создание миниатюрных электровакуумных приборов субТГц-диапазона, прежде всего широкополосных усилителей на основе лампы бегущей волны (ЛБВ) [2]. Для получения приемлемых значений выходной мощности целесообразно использовать пространственно-развитые замедляющие системы (3C), в которых

осуществляется взаимодействие с многолучевыми электронными пучками. В частности, вызывают интерес лестничные ЗС, которые представляют собой систему параллельных металлических пластин с периодически вырезанными в них щелями определенной формы [3,4]. Между пластинами может распространяться несколько электронных пучков. Однако простейший вариант лестничной ЗС с прямоугольными щелями обладает сильной дисперсией на основной гармонике, поэтому его проблематично использовать для создания широкополосных ЛБВ-усилителей.

В данной работе исследованы модификации лестничной 3C, связанные с усложнением формы щелей в пластине или формы волновода таким

Работа удостоена премии на 20-м Конкурсе молодых ученых имени Ивана Анисимкина.

образом, чтобы частота щелевого резонанса была ниже частоты отсечки волновода. Особенностью подобных 3С является проявление свойств дважды отрицательного метаматериала (эффективные диэлектрическая и магнитная проницаемости отрицательны) [5—10]. В таких структурах основная пространственная гармоника является обратной, в то время как на +1-й гармонике имеет место нормальная дисперсия и обеспечивается синхронизм пучка с волной в достаточно широкой полосе частот при умеренных напряжениях электронного пучка.

1. ЛЕСТНИЧНАЯ ЗАМЕДЛЯЮЩАЯ СИСТЕМА С ПРЯМОУГОЛЬНЫМИ ЩЕЛЯМИ

Схема простейшей лестничной ЗС показана на рис. 1. Она представляет собой вставленную в прямоугольный волновод с поперечным сечением $H_x \times H_y$ металлическую пластину толщиной t, в которой с периодом p вырезаны прямоугольные щели размером $L \times l$.

На рис. 2 представлена дисперсионная диаграмма основной моды 3C, рассчитанная в пакете численного моделирования COMSOL Multiphysics.

Нижняя частота отсечки соответствует критической частоте прямоугольного волновода и определяется его шириной H_x :

$$f_{\rm kp} = c/(2H_x),\tag{1}$$

где c — скорость света в вакууме. Верхняя частота отсечки соответствует частоте щелевого резонанса, которая определяется длиной щели L:

$$f_0 = c/(2L). (2)$$

При выбранных размерах (табл. 1) рабочие частоты лежат в W-диапазоне, $f_{\rm KP}\approx 50$ ГГц, $f_0\approx 103$ ГГц. Область нормальной дисперсии соответствует сдвигам фазы на период структуры $0<\phi<\pi$, т.е. основная гармоника является прямой. На рис. 2 также изображена линия пучка при ускоряющем напряжении $20~{\rm kB}$.

Существенным недостатком данной 3С является сильная дисперсия основной гармоники. Приемлемое замедление волны, обеспечивающее синхронизм при нерелятивистских напряжениях, наблюдается в узком частотном диапазоне вблизи верхней отсечки. Такая структура является недостаточно широкополосной для создания ЛБВ-усилителей. Однако она может быть использована для разработки низковольтных генераторов на основе лампы обратной волны (ЛОВ), когда синхронизм реализуется на —1-й гармонике. Подобные приборы были реализованы еще в 1950 годах [11].

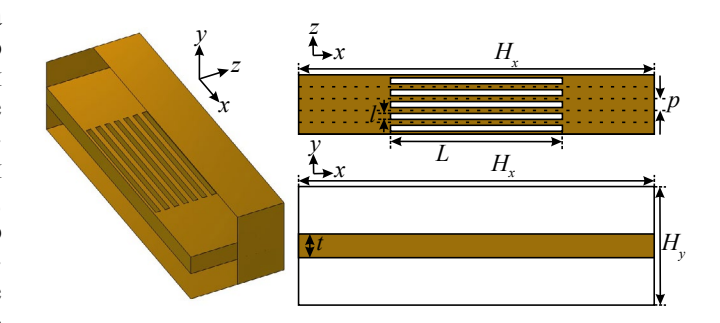


Рис. 1. Схема простейшей лестничной ЗС с прямоугольными щелями: $H_x \times H_y$ — размеры волновода, t — толщина пластины, p — период, $L \times l$ — размеры шели.

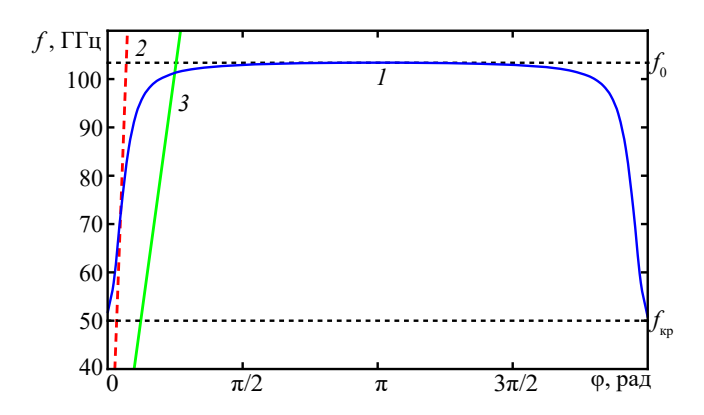


Рис. 2. Дисперсионная характеристика основной моды 3С с прямоугольными щелями W-диапазона (I), линия скорости света (2) и линия пучка при напряжении 20 кВ (3).

Таблица 1. Геометрические параметры 3С с прямоугольными щелями W-диапазона

Геометрический параметр	Значение, мм	
$H_{_{\! \! \! \! \! \! \! \! \! \! \! \! \! \! \! \! \! \! $	3.00×1.80	
t	0.20	
p	0.10	
L×l	1.45×0.05	

В настоящее время такие 3С используются в узкополосных усилителях типа клистронов с распределенным взаимодействием [12].

2. ЛЕСТНИЧНАЯ ЗС С ЩЕЛЯМИ В ФОРМЕ РАЗОМКНУТЫХ ПРЯМОУГОЛЬНЫХ КОЛЕЦ

Если модифицировать геометрию лестничной 3С таким образом, чтобы частота щелевого резонанса была ниже частоты отсечки волновода, $f_0 < f_{\rm kp}$, то вид дисперсионной характеристики качественно изменится: основная гармоника ста-

нет обратной, а нормальная дисперсия будет иметь место для +1-й пространственной гармоники. Простейший способ достичь условия $f_0 < f_{\rm kp}$ состоит в увеличении длины щели так, чтобы она стала больше ширины волновода, $L > H_x$ (см. формулы,). Это возможно, если придать щели более сложную форму, например, в виде разомкнутого прямоугольного кольца. Пример трансформации прямоугольной щели в разомкнутое кольцо при увеличении L показан на рис. 3. Суммарная длина щели определяется параметрами кольца: L = w + 2s + 2q.

На рис. 4 представлены результаты численного моделирования дисперсионных характеристик 3С при постепенном увеличении L, как показано на рис. 3. Расчеты проводились в пакете COMSOL. Размеры, соответствующие кривым 1-6, указаны в табл. 2.

Частота отсечки волновода $f_{\rm kp}\approx 150~\Gamma \Gamma$ ц. Кривая I соответствует случаю прямоугольной щели, $L < H_x$. После трансформации в кольцо, когда суммарная длина становится равной ширине волновода, $L\approx H_x$, дисперсионная характеристика практически вырождается в прямую (кривая 2). При $L>H_x$, когда $f_0 < f_{\rm kp}$, характер дисперсии меняется (кривые 3-6): основная пространственная гармоника ($0<\phi<\pi$) становится обратной, а +1-я гармоника ($\pi<\phi<2\pi$) — прямой. Таким образом, появляется возможность реализовать усиление на +1-й гармонике при достаточно низких рабочих напряжениях ($5...15~{\rm kB}$). Полоса пропускания $3{\rm C}$ с ростом L смещается в область более низких частот, а ширина полосы меняется слабо и составляет примерно $10...15~{\rm \Gamma}$ ${\rm \Gamma}$ ${\rm II}$

Замедляющие системы с щелями в форме разомкнутых прямоугольных колец исследовались ранее в ряде работ (см., например, [5—7]) для создания ЛОВ-генератора с релятивистским электронным пучком. Щели рассматривались как кольцевые резонаторы (так называемые, complementary splitring resonators (CSSR)), которые часто выступают

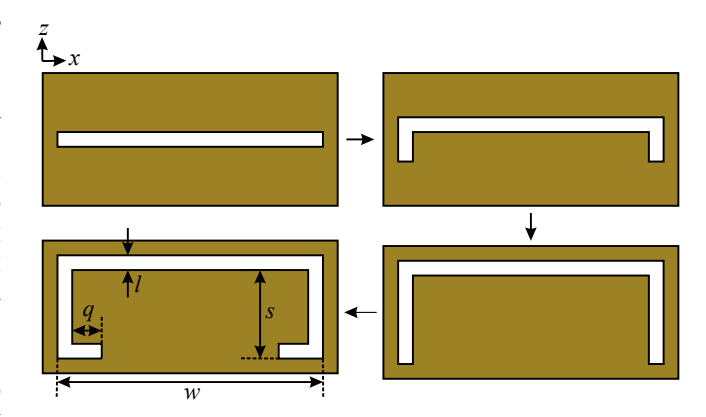


Рис. 3. Пример деформации прямоугольной щели в разомкнутое кольцо при увеличении длины щели L. Суммарная длина шели определяется как L=w+2s+2q (w,s,q— характерные размеры прямоугольного кольца, l— толщина щели).

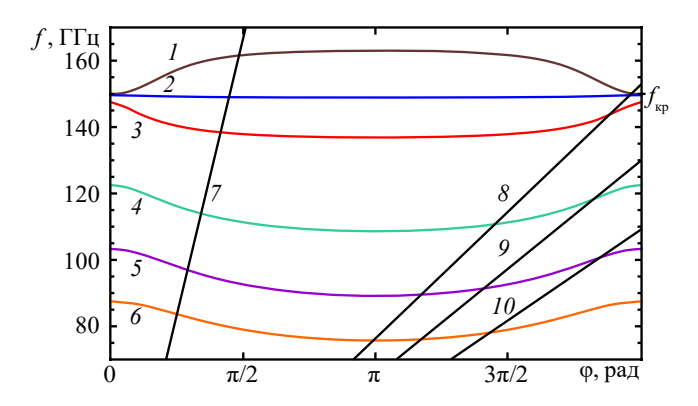


Рис. 4. Дисперсионные характеристики основной моды 3С с щелями в форме разомкнутых прямоугольных колец при различной длине щели L: I — вырожденный случай, когда щель прямоугольная, $H_x > L = 0.9$; кривая $2 - H_x \approx L = 1.0$; $3 - H_x < L = 1.1$; $4 - H_x < L = 1.4$; $5 - H_x < L = 1.7$; $6 - H_x < L = 2.0$ (подробнее см. табл. 2); 7 — линия скорости света; 8, 9 и 10 — линии пучка при напряжениях 14, 10 и 7 кВ соответственно.

Таблица 2. Геометрические параметры 3С с щелями в форме разомкнутого прямоугольного кольца

T	Значение, мм					
Геометрический параметр	1	2	3	4	5	6
$H_{x} \times H_{y}$	1.00×1.00					
t	0.20					
p	0.45					
I	0.05					
w	0.90					
S	_	0.05	0.10	0.25	0.30	0.30
q	_	_	_	_	0.10	0.25
L	0.90	1.00	1.10	1.40	1.70	2.00

Примечание: w, s, q — размеры кольца (см. рис. 3).

в качестве строительных блоков при создании метаматериалов [13]. Метаматериалы представляют собой среды, которые обладают необычными электродинамическими свойствами, обусловленными искусственно созданной периодической структурой из резонансных элементов определенной формы [9, 13]. Аналогия между метаматериалами и периодическими электродинамическими структурами, используемыми в приборах вакуумной СВЧ-электроники, не раз отмечалась в литературе (см., например, [9,14]). Так, CSSR-структуры, разработанные в [5—7], проявляют свойства левой среды, эффективные диэлектрическая и магнитная проницаемость которой отрицательны.

3. ЛЕСТНИЧНАЯ ЗС С ЩЕЛЯМИ ГАНТЕЛЕОБРАЗНОЙ ФОРМЫ

С точки зрения расширения возможностей управления дисперсией интерес представляет разработка лестничных 3C с щелями более сложной формы, резонансная частота f_0 которых определяется несколькими геометрическими параметрами. В рамках этого подхода в данной работе предлагается 3C с щелями гантелеобразной формы (рис. 5). Данную систему можно рассматривать как модификацию 3C с I-образными щелями, которая была предложена в работе [10] для разработки широкополосной ЛБВ на 220 Γ Гц.

Гантелеобразная щель представляет собой резонатор, электрическое поле которого сосредоточено в узком зазоре размером $w \times l$, а магнитное поле — в широких «ушах» размером $a \times b$ (см. рис. 5). Для частоты щелевого резонанса запишем следующую формулу:

$$f_0 = 1/(2\pi\sqrt{L_0C}),\tag{3}$$

где $L_0 = \mu_0 ab/t$, $C = \epsilon_0 t (\alpha + k)$ — индуктивность и емкость щели соответственно, $\alpha = w/2l$. В формуле для емкости C последнее слагаемое учитывает влияние краевых эффектов [15]; значение коэффициента k подбирается таким образом, чтобы обеспечить соответствие с численными результатами. Таким образом, у щели есть четыре геометрических параметра, существенно влияющих на частоту f_0 , при определенном соотношении между которыми можно достичь условия $f_0 < f_{\rm kp}$. В табл. 3 указаны размеры 3C, при которых $f_0 \approx 75$ ГГц, $f_{\rm kp} \approx 150$ ГГц. При k = 0.82 значения f_0 , рассчитанные по формуле, хорошо согласуются с результатами численного моделирования в программном пакете COMSOL при изменении параметров a, b, w и l в широком диапазоне.

Результаты расчета дисперсионной характеристики 3С в COMSOL представлены на рис. 6. Видно, что +1-я гармоника является прямой, причем коэффициент замедления для нее достаточно

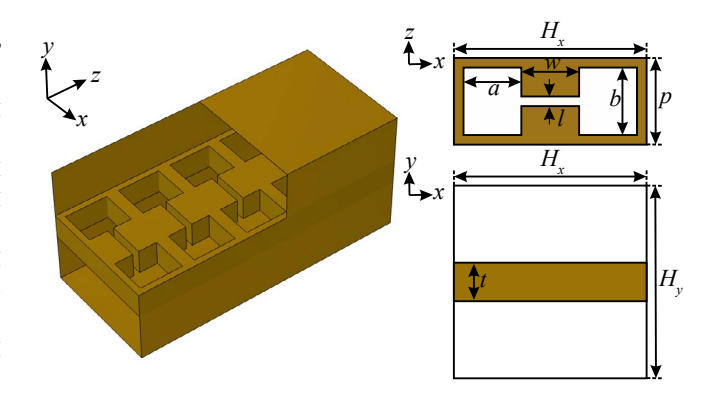


Рис. 5. Схема лестничной 3С с гантелеобразными щелями: $a \times b$ — размеры широкого «уха», $w \times l$ — размеры узкого зазора.

Таблица 3. Геометрические параметры 3C с гантелеобразными шелями W-диапазона

Геометрический параметр	Значение, мм		
$H_{_{_{X}}}\!\! imes\!H_{_{_{y}}}$	1.00×1.00		
t	0.20		
p	0.45		
$a \times b$	0.30×0.35		
w×l	0.30×0.05		

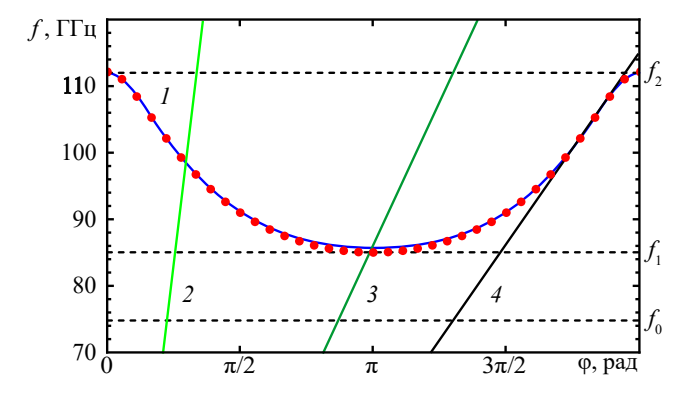


Рис. 6. Дисперсионная характеристика основной моды 3С с гантелеобразными щелями W-диапазона: точки — результаты численного моделирования, кривая I — теоретическая зависимость при $f_{\rm пл}=82$ ГГц, 2 — линия скорости света, 3 и 4 — линии пучка при ускоряющих напряжениях 18 и 7.8 кВ соответственно, f_1 и f_2 — нижняя и верхняя частота отсечки соответственно.

слабо зависит от частоты, так что при ускоряющем напряжении пучка около 8 кВ обеспечивается синхронизм в широкой полосе частот.

Как уже отмечалось, при $f_0 < f_{\rm kp}$ 3С начинает проявлять свойства левой среды. Дисперсионную характеристику 3С можно рассчитать теоретически, основываясь на теории Друде—Лоренца [5,6,9,13]. Эффективные диэлектрическая и магнитная проницаемости среды зависят от частоты f следующим образом:

$$\mu_{9\Phi}(f) = 1 - f_{\kappa p}^2 / f^2$$
, $\varepsilon_{9\Phi}(f) = 1 - f_{\Pi\Pi}^2 / (f^2 - f_0^2)$. (4)

Здесь $f_{\rm пл}$ — так называемая плазменная частота метаматериала. Видно, что $\mu_{\rm эф}(f) < 0$ при $f < f_{\rm кp}$, а $\epsilon_{\rm əф}(f) < 0$ при $f_0 < f < \sqrt{f_0^2 + f_{\rm пл}^2}$.

С учетом периодичности структуры можно записать следующую формулу для сдвига фаз на период структуры ф:

$$\varphi(f) = 2\arcsin\left(\pi p f \sqrt{\varepsilon_{\ni \Phi} \mu_{\ni \Phi}}/c\right). \tag{5}$$

Результаты расчета дисперсионной характеристики по формуле (5) (см. рис. 6, кривая I), хорошо согласуются с результатами компьютерного моделирования, если принять $f_{\Pi\Pi} \approx 82 \ \Gamma \Gamma \mu$.

Отметим, что плазменная частота $f_{\Pi\Pi}$ наиболее существенно зависит от толщины зазора l. Увеличение l от нескольких десятков до сотни микрон приводит к возрастанию плазменной частоты $f_{\Pi\Pi}$ почти в два раза. При этом полоса пропускания 3C расширяется и смещается в область более высоких частот. Так, при l=10 мкм полоса пропускания 3C лежит в диапазоне 47...61 ГГц, а при l=100 мкм — в диапазоне 106...143 ГГц.

4. ЛЕСТНИЧНАЯ ЗС В ВОЛНОВОДЕ С ПАЗАМИ

Альтернативным способом достижения условия $f_0 < f_{\rm kp}$ в лестничных 3С является повышение критической частоты волновода. Такая ситуация наблюдается, например, в волноводе, нагруженном продольными пазами [3,16]. Схема лестничной 3С в волноводе с продольными пазами сечением $g \times h$ показана на рис. 7, а основные размеры приведены в табл. 4. Если щели в пластине отсутствуют, то 3С вырождается в два однородных вдоль оси z изолированных T-образных волновода, расположенных сверху и снизу пластины (см. рис. 7).

Расчеты частоты отсечки такого волновода были проведены в пакете COMSOL в двумерной постановке. В отсутствие паза частота отсечки $f_{\rm kp}$ прямоугольного волновода равна 85.7 ГГц. Расчеты показали, что при увеличении глубины паза h частота отсечки монотонно возрастает, однако при

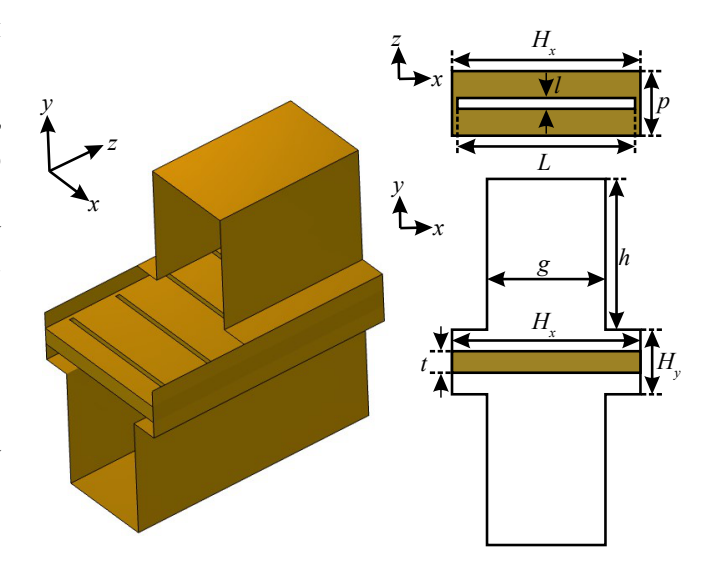


Рис. 7. Схема лестничной 3С в волноводе с пазами: $g \times h$ — размеры паза.

Таблица 4. Геометрические параметры 3С в волноводе с пазами W-лиапазона

Геометрический параметр	Значение, мм		
$H_{_{_{X}}}\times H_{_{_{y}}}$	1.75×0.60		
t	0.20		
p	0.6		
L×l	1.65×0.10		
g×h	1.10×1.40		

h>1 мм меняется слабо (рис. 8а). Зависимость частоты отсечки от ширины паза g (рис. 8б) имеет явно выраженный максимум, когда g несколько превышает половину ширины волновода (при выбранных размерах это имеет место при $g\approx 1100$ мкм). Были выбраны такие размеры пазов (см. табл. 4), при которых $f_{\rm KP}$ повышается примерно до 112 $\Gamma\Gamma$ Ц, что превышает частоту $f_0=90.8$ Γ ГЦ.

Результаты расчета дисперсионной характеристики 3С представлены на рис. 9. Видно, что широкополосное усиление возможно на +1-й пространственной гармонике при ускоряющих напряжениях порядка 13 кВ. Отметим, что полоса пропускания основной моды находится в области частот, в которой эффективные диэлектрическая и магнитная проницаемости отрицательны. Нижняя граница полосы пропускания близка к частоте f_0 , а верхняя граница, как и для описанных выше метаматериальных 3С, определяется формулой $f_0 = \sqrt{f_0^2 + f_0^2} \approx 108.9 \Gamma \Gamma_U$ гле плазменная частота

$$f_2 = \sqrt{f_0^2 + f_{\Pi\Pi}^2} \approx 108.9~\Gamma\Gamma$$
ц, где плазменная частота $f_{\Pi\Pi} \approx 60~\Gamma\Gamma$ ц.

Как и в случае 3C с гантелеобразными щелями, плазменная частота растет при увеличении про-

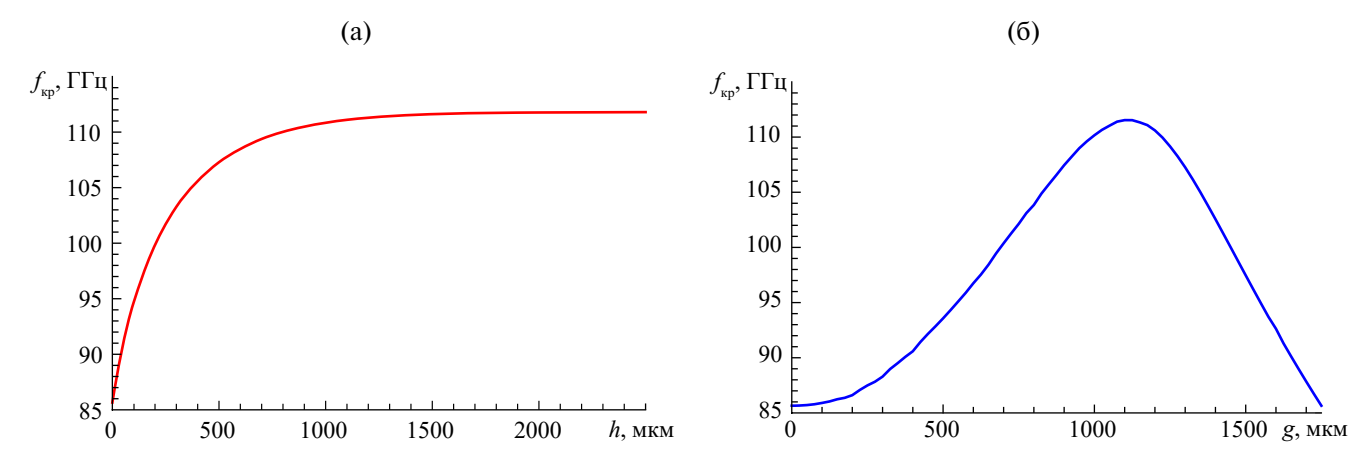


Рис. 8. Зависимость критической частоты Т-образного волновода $f_{\rm KP}$ от глубины паза h при g=1.1 мм (а) и от ширины паза g при h=1.4 мм (б).

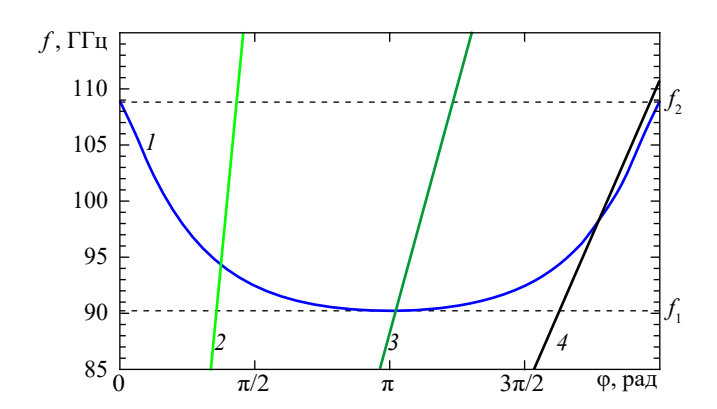


Рис. 9. Дисперсия основной моды 3С в волноводе с пазами, разработанной для W-диапазона (I), линия скорости света (2) и линии пучка при ускоряющих напряжениях 35 (3) и 12.7 кВ (4).

дольного размера щели l. Соответственно, при этом полоса пропускания расширяется. Однако верхняя граничная частота f_2 растет только до тех пор, пока не сравняется с частотой отсечки волновода $f_{\rm kp} \approx 112~\Gamma \Gamma$ ц. Действительно, как следует из формул, при $f > f_{\rm kp}$ эффективная магнитная проницаемость становится положительной и 3C перестает демонстрировать свойства дважды отрицательного метаматериала.

ЗАКЛЮЧЕНИЕ

Таким образом, представлены результаты анализа дисперсионных характеристик ЗС W-диапазона, которые представляют собой модификации лестничной ЗС. Повышение частоты щелевого резонанса или понижение критической частоты волновода приводит к тому, что ЗС начинает проявлять свойства дважды отрицательного метаматериала. При этом в широкой полосе частот возможен синхронизм с попутной электромагнитной

волной при напряжениях пучка порядка 8...13 кВ. Использование аналогии с дважды отрицательным метаматериалом позволяет получить простые оценочные выражения для дисперсионной характеристики, что облегчает проектирование 3С.

Отметим, что 3С, представленные в данной работе, могут быть изготовлены при помощи технологии прецизионной лазерной резки импульсами наносекундной или пикосекундной длительности [17,18].

Авторы данной работы заявляют об отсутствии конфликта интересов.

ФИНАНСИРОВАНИЕ РАБОТЫ

Работа выполнена при финансовой поддержке Российского научного фонда (проект № 22-12-00181).

СПИСОК ЛИТЕРАТУРЫ

- 1. *Paoloni C.* // IEEE Commun. Magaz. 2021. V. 59. № 5. P. 102. doi: 10.1109/MCOM.001.2000326
- Григорьев А.Д. Терагерцевая электроника. М.: Физматлит, 2020.
- 3. Альтшулер Ю.Г., Татаренко А.С. Лампы малой мощности с обратной волной. М.: Сов. радио, 1963.
- 4. Гершензон Е.М., Голант М.Б., Негирев А.А., Савельев К.С. Лампы обратной волны миллиметрового и субмиллиметрового диапазонов волн / Под ред. Н.Д. Девяткова. М.: Радио и связь, 1985.
- Duan Z., Shapiro M.A., Schamiloglu E. et al. // IEEE Trans. 2019. V. ED-66. № 1. P. 207. doi: 10.1109/ TED.2018.2878242
- Hummelt J.S., Lewis S.M., Shapiro M.A., Temkin R.J. // IEEE Trans. 2014. V. PS-42. № 4. P. 930. doi: 10.1109/ TPS.2014.2309597
- 7. *Hummelt J. S., Lu X., Xu H. et al.* // Phys. Rev. Lett. 2016. V. 117. № 23. P. 237701. doi: 10.1103/ PhysRevLett.117.237701
- 8. Lu X., Stephens J.C., Mastovsky I. et al. // Phys. Plasmas. 2018. V. 25. № 2. P. 023102. doi: 10.1063/1.5016545

- High Power Microwave Sources and Technologies Using Metamaterials / Ed. J.W. Luginsland et al. N.Y.: Wiley-IEEE Press, 2021.
- 10. Jiang S., Tang X., Huang S. et al. // IEEE Trans. 2023. V. ED-70. № 3. P. 1306. doi: 10.1109/TED.2022.3233814
- 11. *Karp A.* // Proc. IRE. 1957. V. 45. № 4. P. 496. doi: 10.1109/JRPROC.1957.278439
- 12. Berry D., Deng H., Dobbs R. et al. // IEEE Trans. 2014. V. ED-61. № 6. P. 1830. doi: 10.1109/TED.2014.2302741
- 13. Вендик И.Б., Вендик О.Г. // ЖТФ. 2013. Т. 83. № 1. С. 3.
- 14. Yurt S.C., Elfrgani A., Fuks M.I. et al. // IEEE Trans. 2016. V. PS-44. № 8. P. 1280. doi: 10.1109/TPS.2016.2535305
- 15. Catalan-Izquierdo S., Bueno-Barrachina J.-M., Cañas-Peñuelas C.-S., Cavallé-Sesé F. // Renew. Energies & Power Quality J. 2009. V. 1. № 7. P. 613. doi: 10.24084/ repqj07.451
- Butcher P.N. // Proc. IEE. 1957. V. 104. Pt. B. № 14. P. 169. doi: 10.1049/pi-b-1.1957.0132
- Starodubov A.V., Galushka V.V., Ryskin N.M. et. al. // Proc. 2023 24th Int. Vacuum Electronics Conf. (IVEC). Chengdu 25-28 Apr. N.Y.: IEEE, 2023. Paper No. 10157320. doi: 10.1109/IVEC56627.2023.10157320
- 18. Торгашов Р.А., Ножкин Д.А., Стародубов А.В., Рыскин Н.М. // РЭ. 2023. Т. 68. № 10. С. 992. doi: 10.31857/ S0033849423100182

METAMATERIAL-INSPIRED SLOW-WAVE STRUCTURES FOR W-BAND TRAVELING-WAVE TUBES

A. A. Rostuntsova^{a, b, *}, E. E. Kolesnichenko^{a, b}, N. M. Ryskin^{a, b}

^a Saratov Branch Kotelnikov Institute of Radio Engineering and Electronics RAS,
38 Zelenaya St., Saratov, 410019 Russia
^b Saratov State University,
83 Astrakhanskaya St., Saratov, 410012 Russia

*E-mail: rostuncova@mail.ru

Received April 26, 2023, revised May 22, 2024, accepted May 25, 2024

Electromagnetic parameters of the ladder-type slow-wave structures (SWS) formed by a metal plate with periodically arranged slots of a certain shape placed in a waveguide are studied. Modifications of the ladder-type SWS associated with the complication of the slot shape or the waveguide shape are proposed in such a way that the frequency of the slot resonance is lower than the cutoff frequency of the waveguide, and the SWS exhibits the properties of a double-negative metamaterial. It is shown that the fundamental spatial harmonic is backward, while the $+1^{st}$ harmonic acquires normal dispersion and the beam-wave synchronism is possible in a sufficiently wide frequency band. SWS with dumbbell-shaped slots and SWS in a groove-loaded waveguide are designed for W-band traveling-wave tube (75...110 GHz) with a relative bandwidth of about 25% and operating voltages of 8...13 kV. In such structures, there is the possibility of interaction of a slow wave with two sheet electron beams propagating from above and below the plate.

Keywords: slow-wave structure, metamaterial, traveling-wave tube, millimeter band